

3.5W高保真超低EMI防削顶单声道D类音频功率放大器

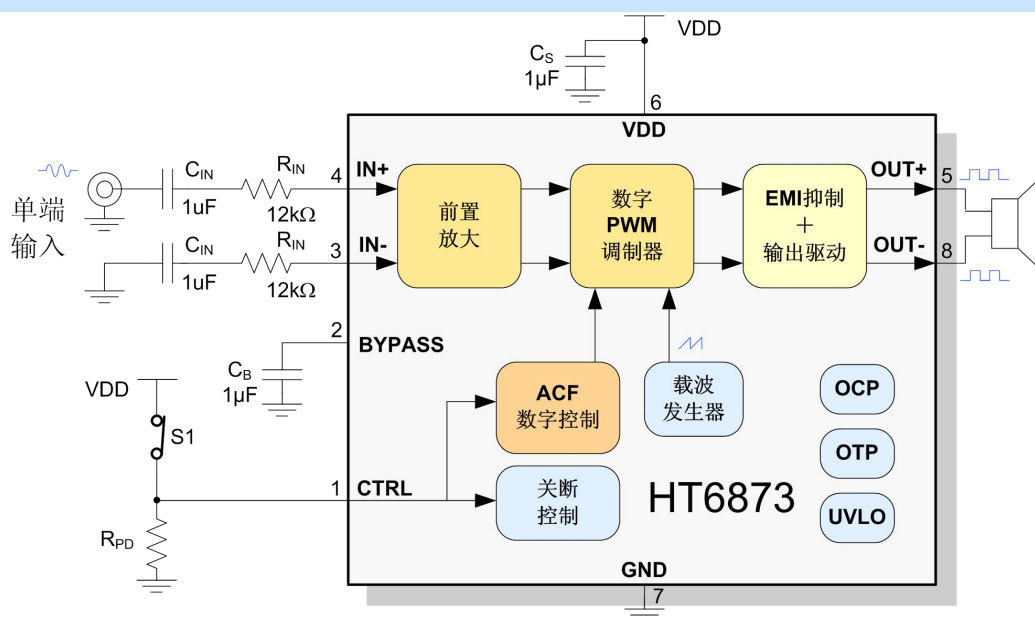
■ 特点

- 降低了内阻和热耗的EDMA专利技术，极大提升了输出功率和产品可靠性
 $P_o=3.5\text{ W}$ ($V_{DD}=5.0\text{V}$, $R_L=4\Omega$, $\text{THD+N}=10\%$)
 $P_o=3.0\text{ W}$ ($V_{DD}=3.7\text{V}$, $R_L=2\Omega$, $\text{THD+N}=10\%$)
- 优异的全带宽EMI抑制性能
 - a) 独创的主动边沿控制专利 (AROC, Active edge Ringing and Overshoot Control circuitry)
 - b) 辐射水平远在FCC Part15 Class B 标准之下;
 - c) 对系统中不同频段无线通信敏感模块无干扰, 如FM、CMMB、GSM、CDMA和Bluetooth等;
 - d) 减小了辐射和传导干扰, 降低了系统设计难度
- 高保真, $\text{THD+N}=0.05\%$ ($R_L=4\Omega$, $P_o=1\text{W}$, $f=1\text{kHz}$)
- 全低噪应用, 高信噪比
- 防削顶失真功能(Anti-Clipping Function, ACF)
- 卓越的“咔嚓-噼啪”(Click-Pop)噪声抑制性能
- 低关断电流: $0.1\mu\text{A}$
- 免滤波器数字调制, 直接驱动扬声器
- 过流、过热、欠压异常保护功能
- 无铅无卤绿色封装, SOP8L, SOP8L-PP, DFN8L (5mm*6mm)

■ 应用

- | | |
|----------------------------|-------------|
| · 蓝牙音箱 | · 便携式/USB音箱 |
| · 2.1声道小音箱 | · 扩音器 |
| · ipad/iphone/ipod docking | · MP4, 导航仪 |
| · 平板电脑, 笔记本电脑 | · 智能手机 |
| · 小尺寸LCD电视/监视器 | · 便携式游戏机 |

■ 典型应用图



■ 概述

HT6873是一款高保真超低EMI的, 具有防削顶失真功能的单声道免滤波D类音频功率放大器。在5V电源, 10% THD+N, 4Ω负载条件下, 输出3.5W高功率, 在各类音频终端应用中维持高效率并提供AB类放大器高保真、低噪声的性能。

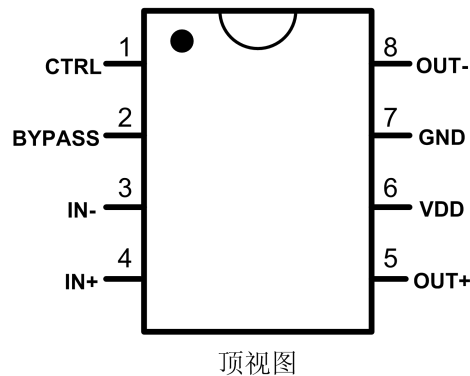
AROC辐射和传导干扰抑制电路使HT6873具有优异的全带宽低辐射性能, 在不加辅助滤波设计、输出喇叭线长20cm时的辐射水平远在FCC Part15 Class B 标准之下。

HT6873的防削顶失真功能可检测并抑制由于音乐、语音信号幅度过大或电池电压下降所引起的输出削顶失真(破音), 显著提高音质, 创造舒适的听音享受, 并保护扬声器免受过载损坏。针对不同需求, 防削顶具有ACF-1和ACF-2两种模式, 分别对应约3%和10%最大THD+N, 同时芯片具有ACF-Off 模式。

HT6873输出无需滤波网络, 极少的外部元器件节省了系统空间和成本, 是便携式应用的理想选择。

此外, HT6873内置的关断功能使待机电流最小化, 还集成了过流保护、过温保护和欠压异常保护等功能。

■ 引脚信息



■ 引脚定义*1

| SOP8L/DFN8L 引脚号 | 引脚 名称 | I/O | ESD 保护电路 | 功能 |
|--------------------|----------|--------|-------------|---------------|
| 1 | CTRL | I | PN | ACF模式和关断模式控制端 |
| 2 | BYPASS | A | PN | 模拟参考电压 |
| 3 | IN- | A | PN | 反相输入端（差分-） |
| 4 | IN+ | A | PN | 同相输入端（差分+） |
| 5 | OUT+ | O | - | 同相输出端（BTL+） |
| 6 | VDD | Power | - | 电源 |
| 7 | GND | Ground | - | 地 |
| 8 | OUT- | O | - | 反相输出端（BTL-） |

注1 I: 输入端 O: 输出端 A: 模拟端
当大于VDD的电压外加于PN保护型端口（ESD保护电路由PMOS和NMOS组成）时，PMOS电路将有漏电流流过。

■ 订购信息

H
T
6
8
7
3
X

B
*
M
A
A
C

- X: 封装形式，默认封装（SOP8L）没有后缀，P代表SOP8L-PP
- B*: 公司内部代码
- M: 月份编码，1~9以及J、Q、K
- AA: 生产批次，01代表量产第一批，以此类推
- C: 随机编码，一个月内A-Z安批顺编

■ 电气特性

● 极限工作条件^{*1}

| 参数 | 符号 | 最小值 | 最大值 | 单位 |
|--------------------------------------|------------------|----------------------|----------------------|----|
| 电源电压范围 | V _{DD} | -0.3 | 5.8 | V |
| 模拟、输入引脚电压范围 (IN+, IN-, BYPASS, CTRL) | V _{IN} | V _{SS} -0.3 | V _{DD} +0.3 | V |
| 工作环境温度范围 | T _A | -40 | 85 | °C |
| 工作结温范围 | T _J | -40 | 150 | °C |
| 储存温度 | T _{STG} | -50 | 165 | °C |

注1: 为保证器件可靠性和寿命, 以上绝对最大额定值不能超过。否则, 芯片可能立即造成永久性损坏或者其可靠性大大恶化。若输入端电压在可能超过V_{DD}/GND的应用环境中使用, 推荐使用一个外部二极管来保证该电压不会超过绝对最大额定值。

● 功率耗散额定值

| 封装 | 热阻 θ_{JA} | 降额因子 ^{*2} | T _A ≤25°C | T _A =70°C | T _A =85°C |
|----------|------------------|--------------------|----------------------|----------------------|----------------------|
| SOP8L | 139 °C/W | 7.2 mW/°C | 899 mW | 576 mW | 468 mW |
| SOP8L-PP | 52 °C/W | 19.2 mW/°C | 2404 mW | 1538 mW | 1250 mW |

注2: 该因子均在JEDEC标准下的低K值板上测得。以上测试值均在无环境气流影响条件下测得。

● 推荐工作条件

| 参数 | 符号 | 条件 | 最小值 | 典型值 | 最大值 | 单位 |
|--------------------|------------------------------|-----------------------|-----|-----|-----|----|
| 电源电压 ^{*3} | V _{DD} | | 2.5 | 5 | 5.5 | V |
| 工作环境温度 | T _a | | -30 | 25 | 85 | °C |
| 负载阻抗 | R _L ^{*4} | V _{DD} =5V | 1.9 | | | Ω |
| | | V _{DD} =4.2V | 1.5 | | | Ω |

注3: V_{DD}上电的上升时间应超过1μs。

注4: 该值在电源电容1μF//220μF, 输出对V_{DD}接肖特基二极管(型号RB161VA-20), 用纯电阻R_L串联33uH电感模拟扬声器下测得。

● 直流特性 (DC)
 $V_{SS}=0V, V_{DD}=2.5V\sim 5.5V, T_a = -40^{\circ}C\sim 85^{\circ}C$, 除非特殊说明.

| 参数 | 符号 | 条件 | 最小值 | 典型值 | 最大值 | 单位 |
|-------------------|---------------------|--|-----------------|--------------------|-----------------|----|
| VDD电源的启动阈值 | VUVLH | | | | 2.2 | V |
| VDD电源的关断阈值 | VUVLL | | | | 2.0 | V |
| ACF-Off 模式的设置阈值电压 | VMOD1 | | 2.00 | | V _{DD} | V |
| ACF-1 模式的设置阈值电压 | VMOD2 | | 1.55 | | 1.85 | V |
| ACF-2 模式的设置阈值电压 | VMOD3 | | 1.10 | | 1.40 | V |
| SD 关断模式的设置阈值电压 | VMOD4 | | V _{SS} | | 0.30 | V |
| 静态电流 | I _{DD} | V _{DD} =5V, 无负载, 无输入 | | 8 | 20 ⁵ | mA |
| 关断电流 | I _{SD} | CTRL=V _{SS} , T _a =25 ^o C | | 0.1 | | μA |
| BYPASS端电压值 | V _{BYPASS} | | | V _{DD} /2 | | V |

注5: 静态电流可能会随着芯片温度的升高而升高.

● 模拟特性
 $V_{SS}=0V, V_{DD}=5V, T_a=25^{\circ}C, C_{IN}=1\mu F, R_{IN}=12\text{ k}\Omega, R_L=4\Omega$, ACF-Off模式, 除非特殊说明.

| 参数 | 符号 | 条件 | 最小值 | 典型值 | 最大值 | 单位 |
|----------|------------------|---|-------------------|------|-----|-------------------|
| 输出功率 | P _O | R _L =4Ω, V _{DD} =5V | | 3.5 | | W |
| | | R _L =2Ω, V _{DD} =5V | f=1kHz, THD+N=10% | 5.5 | | |
| | | R _L =4Ω, V _{DD} =3.7V | | 1.9 | | |
| | | R _L =2Ω, V _{DD} =3.7V | | 3.0 | | |
| 总谐波失真加噪声 | THD+N | R _L =4Ω, P _O =1W, f=1kHz | | 0.05 | | % |
| | | R _L =2Ω, P _O =1W, f=1kHz | | 0.05 | | % |
| 输出噪声 | V _N | f=20Hz~20kHz, A加权 | | 60 | | μV _{rms} |
| 信噪比 | SNR | f=20Hz~20kHz, A加权 | | 95 | | dB |
| 电源抑制比 | PSRR | 纹波V _{pp} =200mV, f=1kHz | | -75 | | dB |
| 效率 | η | V _{DD} =5V, R _L =8Ω, P _O =1W | | 86 | | % |
| 输出失调电压 | V _{OS} | | | ±5 | ±10 | mV |
| 频响特性 | f _{RES} | C _{IN} =0.1μF, f=100Hz~20kHz | -3 | - | 1 | dB |
| 系统增益 | A _{V0} | R _{IN} =12 kΩ | | 25.5 | | dB |
| ACF衰减增益 | A _a | | -10 | | 0 | dB |

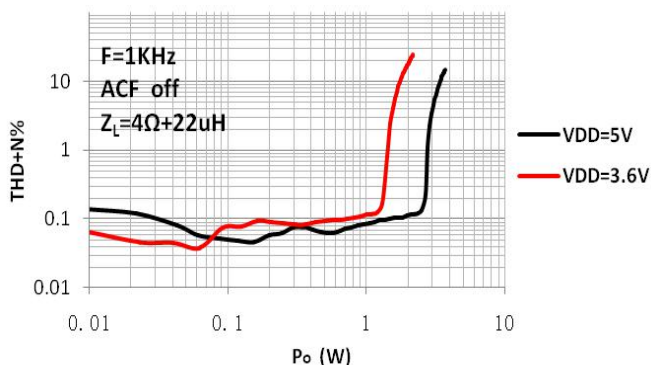
注: 以上模拟特性随所选元件和PCB布局而有所变化; 以上特性是输出直接外接负载电阻再通过30kHz滤波后测得; 若输出经滤波器后再接负载电阻, 受滤波器影响, 测试结果将可能与以上数据有区别.

● 交流特性 (AC)
 $V_{SS}=0V, V_{DD}=2.5\text{ to }5.5V, T_a = -30^{\circ}C\sim 85^{\circ}C$, 除非特殊说明.

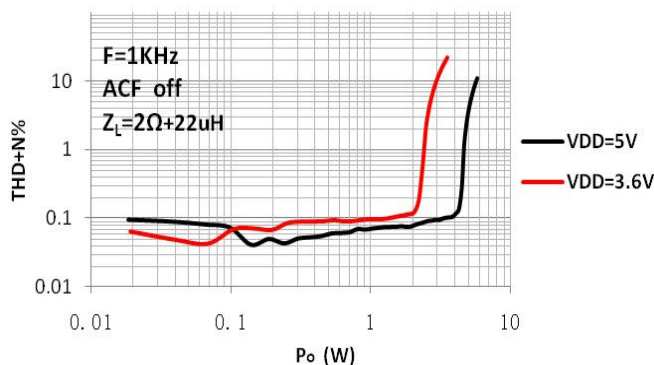
| 参数 | 符号 | 条件 | 最小值 | 典型值 | 最大值 | 单位 |
|-------------------|-------------------|---|-----|-----|-----|-----|
| 上电启动时间 (或从关断唤醒时间) | t _{STUP} | | | 240 | | ms |
| ACF-1 启动时间 | t _{AT1} | V _{DD} =3.6V, g=10dB | | 72 | | ms |
| ACF-1 释放时间 | t _{RL1} | V _{DD} =3.6V, g=10dB | | 720 | | ms |
| ACF-2 启动时间 | t _{AT2} | V _{DD} =3.6V, g=10dB | | 20 | | ms |
| ACF-2 释放时间 | t _{RL2} | V _{DD} =3.6V, g=10dB | | 450 | | ms |
| 唤醒模式设置时间 | t _{WK} | | 35 | | | ms |
| 关断设置时间 | t _{SD} | T _a (Min.)= -20 ^o C | 50 | | | ms |
| | | T _a (Min.)= -30 ^o C | 80 | | | |
| 各模式设置时间 (除关断外) | t _{MOD} | | 0.1 | | | ms |
| 载波调制频率 | f _{PWM} | | | 470 | | kHz |

■ 典型特性曲线

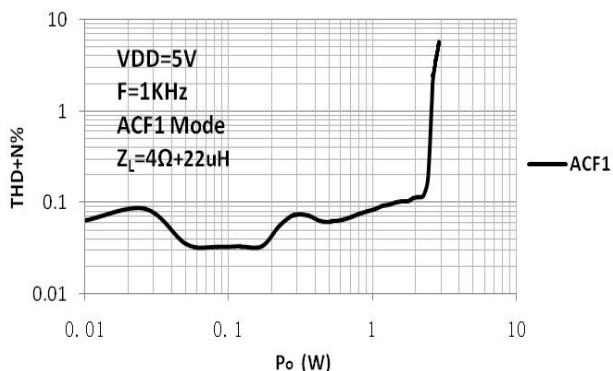
P_o VS THD+N%



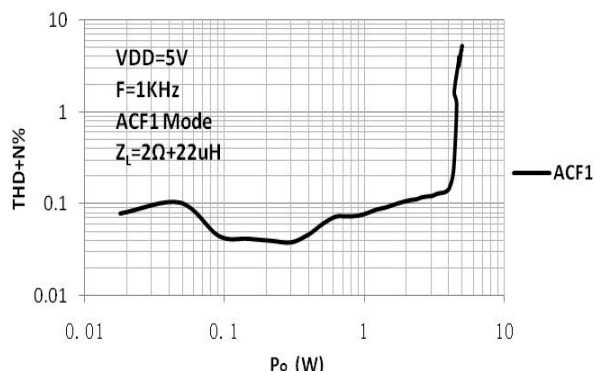
P_o VS THD+N%



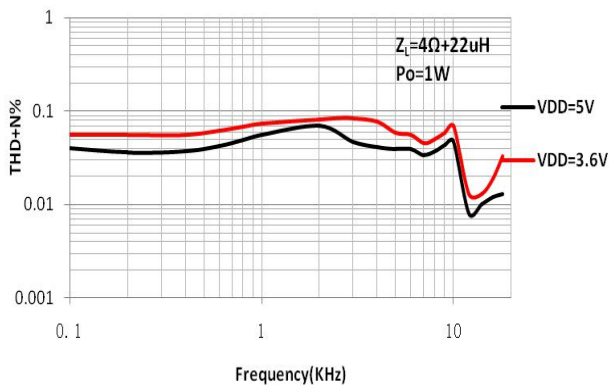
P_o VS THD+N%



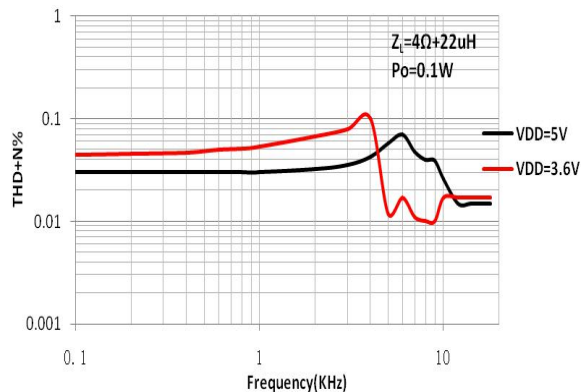
P_o VS THD+N%



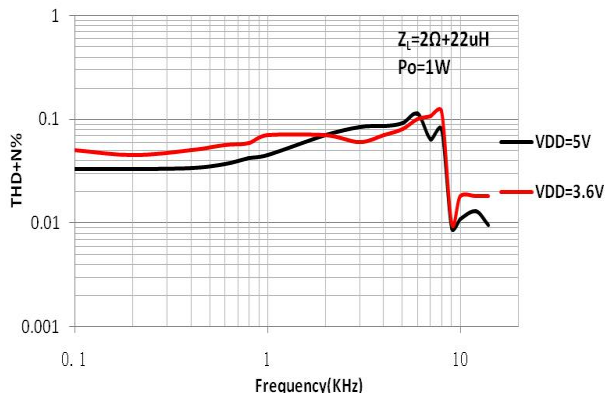
Frequency VS THD+N%



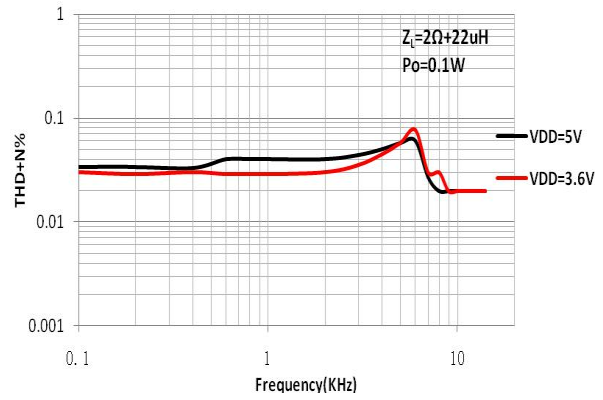
Frequency VS THD+N%



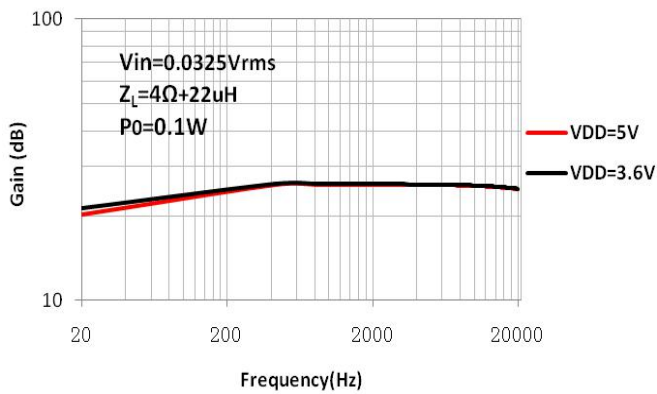
Frequency VS THD+N%



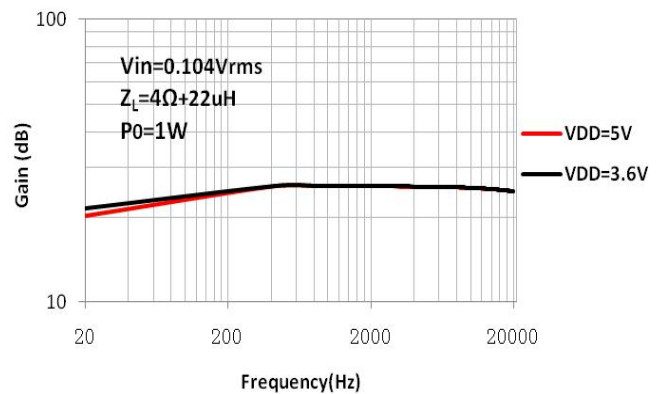
Frequency VS THD+N%



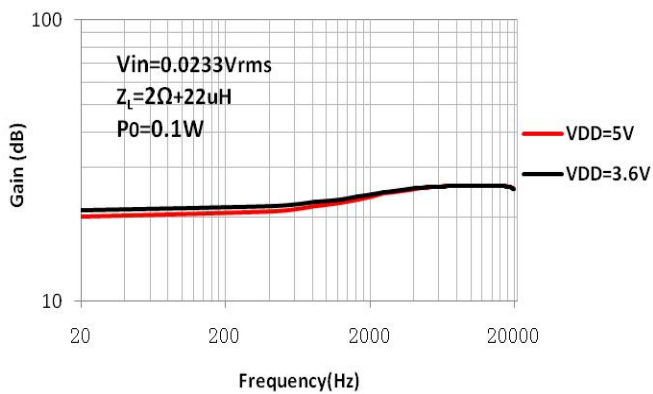
Frequency VS Gain



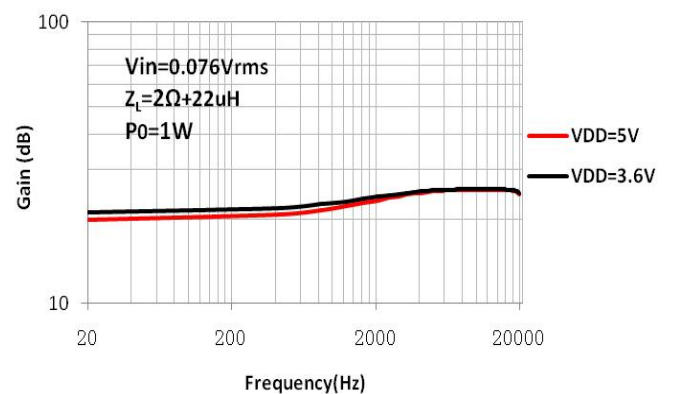
Frequency VS Gain



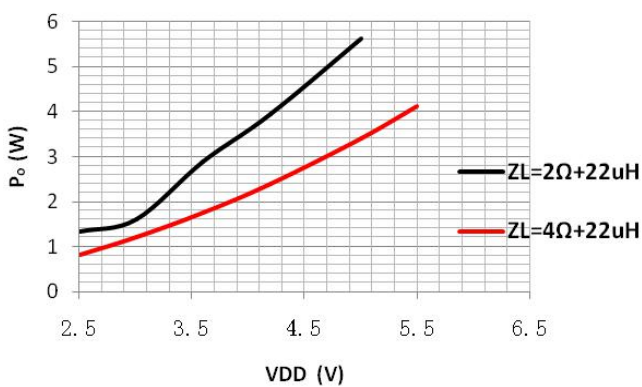
Frequency VS Gain



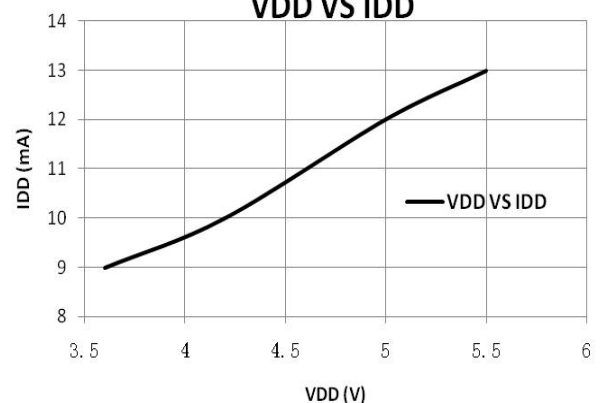
Frequency VS Gain



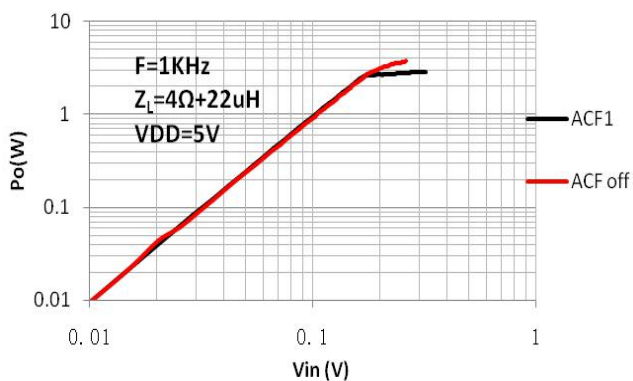
P_o VS VDD



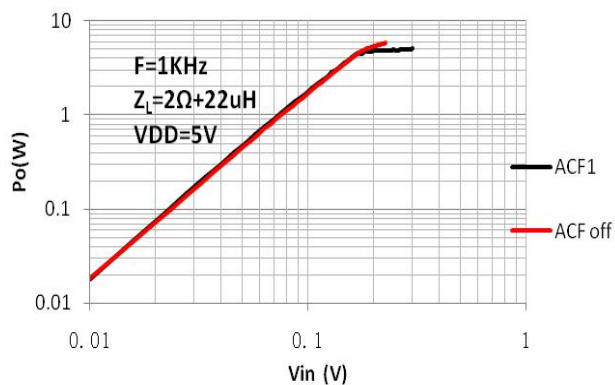
VDD VS IDD



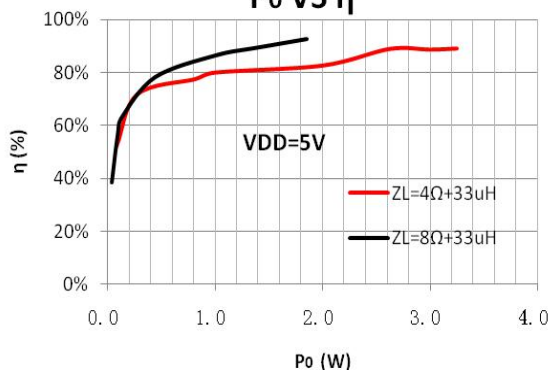
Po VS Vin



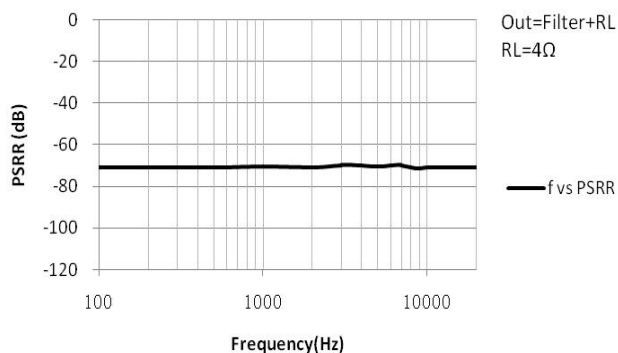
Po VS Vin



Po VS η



Frequency vs PSRR



■ 功能描述及应用信息

● 输入配置

HT6873 接受模拟差分或单端音频信号输入，产生 PWM 脉冲输出信号驱动扬声器。

对差分输入，通过隔直电容 C_{IN} 和输入电阻 R_{IN} 分别输入到 IN+ 和 IN- 端。系统增益 $A_V=220/R_{IN}$ ，输入 RC 高通滤波器的截止频率 $f_c = 1/(2\pi R_{IN} C_{IN})$ 。

对单端输入，则通过 C_{IN} 耦合到 IN+ 端。IN- 端必须通过输入电阻和电容（与 C_{IN} 、 R_{IN} 值相同）接地。增益 A_V 和截止频率 f_c 与差分输入时相同。

注意系统前级电路的输出阻抗 Z_{OUT} 应不超过 600Ω 。



图1 (1) 差分输入;

(2) 单端输入

● 辐射骚扰特性

HT6873 具有良好的低辐射骚扰特性，采用独创的主动边沿控制专利技术，使辐射水平远在 FCC Part15 Class B 标准之下（最小仍有 20dB 的裕量），对系统中不同频段无线通信敏感模块无干扰，如 FM、CMMB、GSM、CDMA 和 Bluetooth 等。EMI 测试结果如下图：

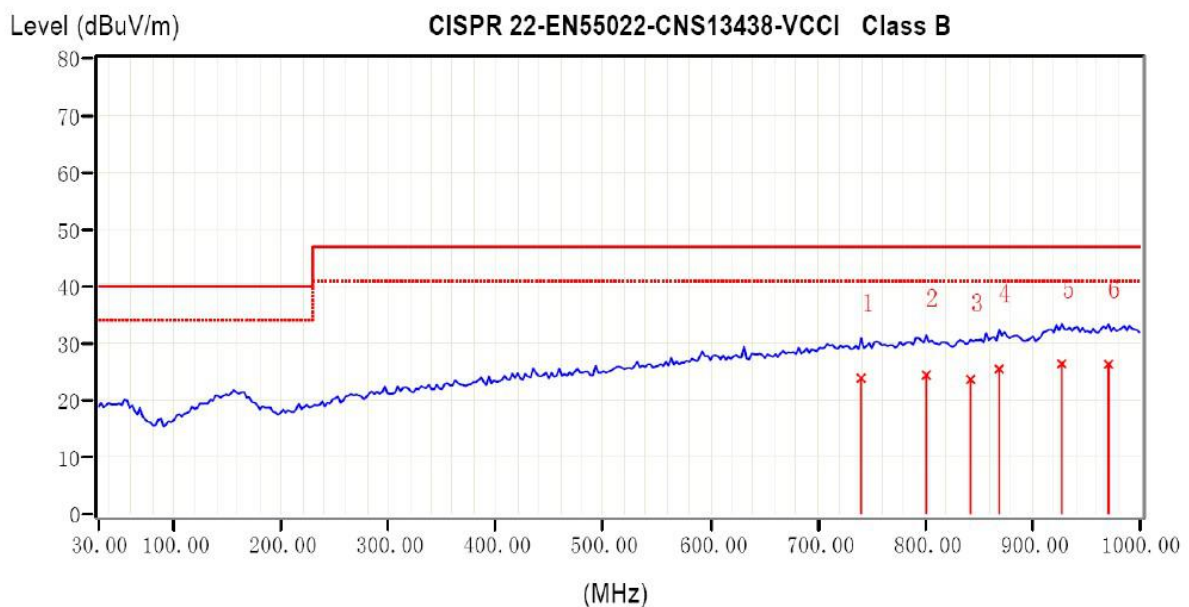


图2 HT6873垂直方向EMI辐射图;

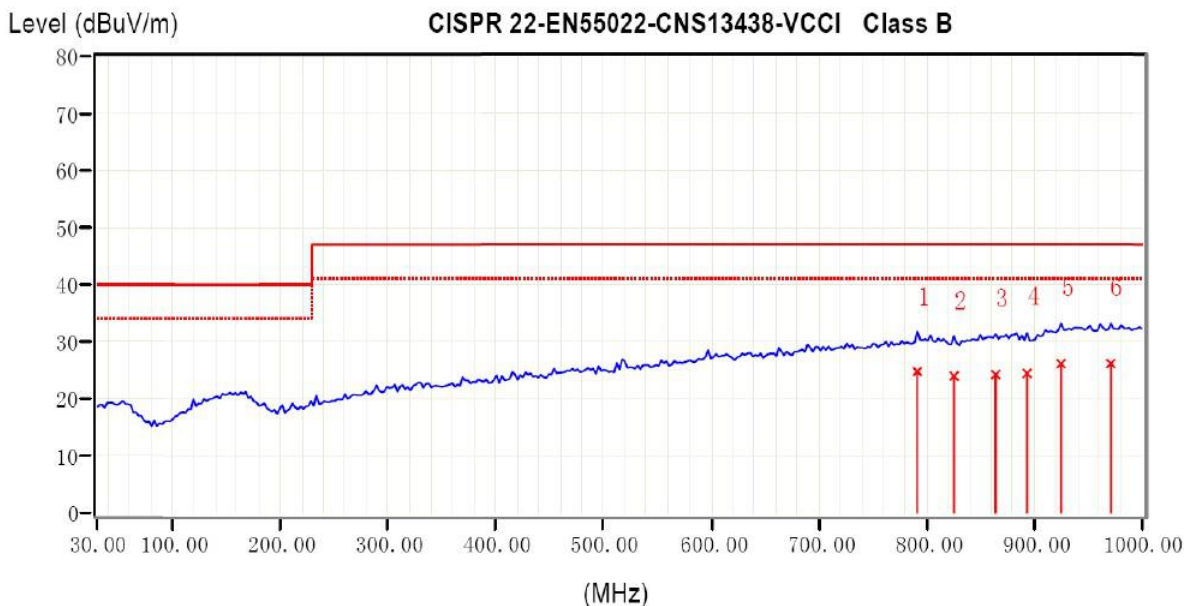


图3 HT6873水平方向EMI辐射图;

● **功放输出**

一般而言，输出端可直接连接负载喇叭。如果输出端的输出线较长，或者对EMI的要求较高，则可选择添置铁氧体磁珠或LC滤波器。

另外，如果电源电压较大 ($\geq 5V$)，纹波较严重，或输入信号幅度较大 ($\geq 1.0V_{rms}$)，或负载喇叭阻抗较小 ($\leq 3\Omega$) 时，有必要适当增大电源端电容 (至少100uF以上)，并在输出端加入Snubber电路和肖特基二极管 (如图4)，防止芯片异常。

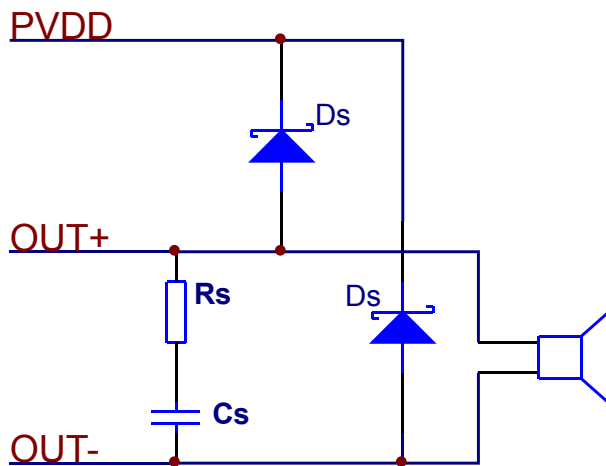


图4. 输出端的连接

推荐参数:

Rs: 1.5 ~ 2 Ω ;

Cs: 330pF~680pF;

Ds: 正向平均电流 $\geq 1A$; 正向浪涌峰值电流 $\geq 5A$; 正向电压 ($I_F=1A$) $\leq 0.38V$ 。

● **CTRL模式设置**

在 CTRL 端输入不同电压值，能实现 4 种工作模式，即防削顶模式 1 (ACF-1)，防削顶模式 2 (ACF-2)，防削顶功能关闭模式 (ACF-Off) 和芯片关断模式 (SD)，详见下表。

表 1 CTRL 引脚不同模式设置的输入电压

| 参数名 | 符号 | 最小值 | 理想值 | 最大值 | 单位 |
|-------------------|------------|----------|------|----------|----|
| ACF-Off 模式的设置阈值电压 | V_{MOD1} | 2.00 | VDD | V_{DD} | V |
| ACF-1 模式的设置阈值电压 | V_{MOD2} | 1.55 | 1.70 | 1.85 | V |
| ACF-2 模式的设置阈值电压 | V_{MOD3} | 1.10 | 1.25 | 1.40 | V |
| SD 模式的设置阈值电压 | V_{MOD4} | V_{SS} | 0 | 0.30 | V |

● CTRL模式功能描述

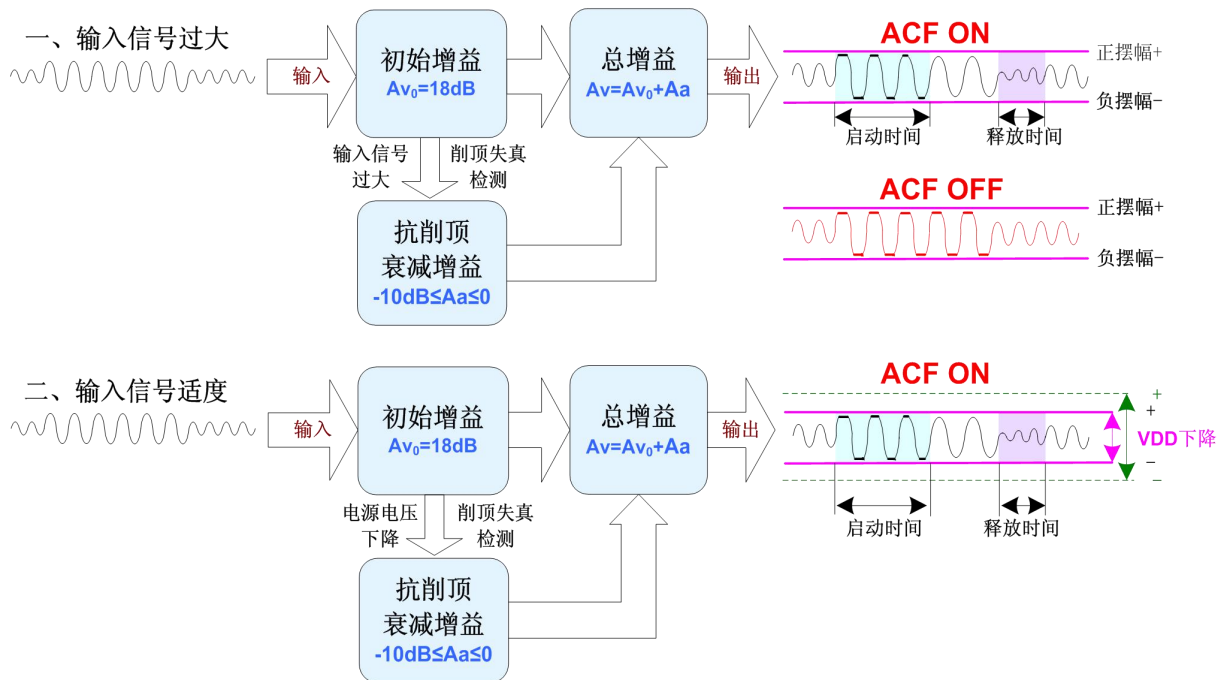


图 5 ACF 工作原理示意图

(一) ACF ON 模式

在 ACF-1、ACF-2 模式下，当电路检测到输入信号幅度过大而产生输出削顶时，HT6873 通过自动调整系统增益，控制输出达到一种最大限度的无削顶失真功率水平，由此大大改善了音质效果。此外，当电源电压下降时，HT6873 也能自动衰减输出增益，实现与 VDD 下降值相匹配的最大限度无削顶输出水平。

ACF ON 模式下的启动时间（Attack time）指在突然输入足够大信号而产生输出削顶的条件下，从 ACF 启动对放大器的增益调整，直到增益从 Av_0 衰减至距目标衰减增益 3dB 时的时间间隔；释放时间（Release time）指从产生削顶的输入条件消失，到增益退出衰减状态恢复到 Av_0 的时间间隔。HT6873 的最大衰减增益为 10dB。

ACF-1 和 ACF-2 模式具有不同的启动时间和释放时间（见下表）。

表 2 ACF-1 和 ACF-2 模式区别

| 模式 | 启动时间 | 释放时间 |
|-----------|------|------|
| ACF-1（推荐） | 50ms | 64ms |
| ACF-2 | 56ms | 38ms |

(二) ACF OFF 模式

在 ACF-Off 模式下，ACF 功能被关闭，HT6873 不对输出削顶条件作检测，也不对系统增益作自动调整操作，系统增益保持为 $Av=Av_0=18dB$ 或 $24dB$ 恒定不变。HT6873 可能因输出存在破音失真而音质变坏。

(三) SD 模式

在关断模式（低功耗待机）下，芯片关闭所有功能并将功耗降低到最小，输出端为弱低电平状态（内部通过高阻接地）。

● CTRL 模式转换时序

当 CTRL 接地时，进入 SD 关断模式，此时 CTRL 端低电平应保持至少 t_{SD} 时间不变。反之 CTRL 设为高电位时，经 T_{STUP} 后芯片正常工作，关断被解除，请注意以下唤醒的初始化时序：

- (1) 先启动前级电路以稳定 IN+/IN- 端直流偏置电压，再解除 HT6873 关断状态。注意前级偏置电压的变化量应低于 VDD。稳定偏置所需时间 T_{DLY} 为，

$$T_{DLY} \cong C_{IN} \times 330 \times 10^3 \times 3$$

例如， $C_{IN}=33nF$ 时， $T_{DLY} \cong 33ms$ 。

- (2) 在电源上电时，推荐在电源电压足够稳定之后再从关断模式唤醒，并依照操作时序(1)(2)启动芯片。

● 咔嗒-噼噗声消除

HT6873 内置控制电路实现了全面的杂音抑制效果，有效地抑制住了系统在上电、下电、关断及其唤醒操作过程中出现的瞬态咔嗒-噼噗（Click-Pop）噪声。

为达到更优异的咔嗒-噼噗声消除效果，一般情况下，建议采用 $0.1\mu F$ 或更小的隔直电容 C_{IN} 。同时 POP 噪声还可通过下列上电、下电时关断模式的时序控制措施来达到杂声微乎其微的效果：

- 电源上电时，保持关断模式，等电源足够稳定后再解除关断模式。
- 电源下电时，提前设为关断模式。

● 保护功能

HT6873 具有以下几种保护功能：输出端过流保护、片内过温保护、电源欠压异常保护。

(1) 过流保护

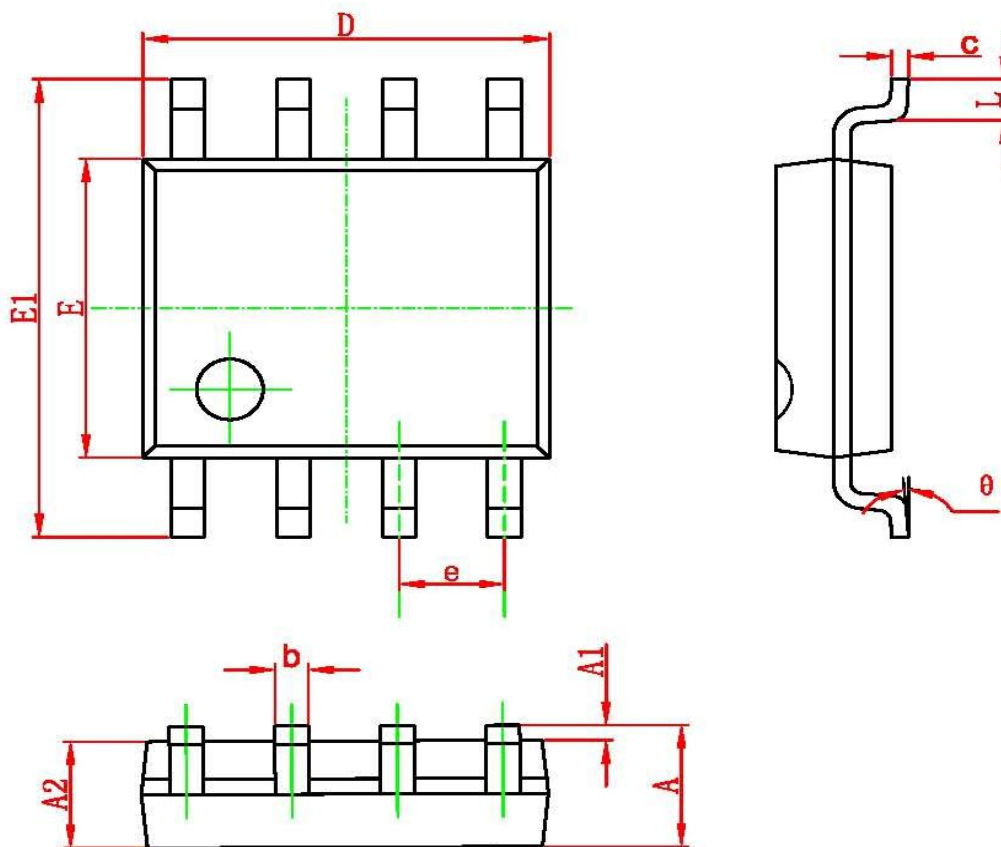
当检测到一输出端对电源、对地、或对另一输出端短路时，过流保护启动，输出端切换至高阻态，防止芯片烧毁损坏。短路情况消除后，通过关断、唤醒一次芯片，或重新上电均能使芯片退出保护模式。

(2) 过温保护

当检测到芯片内温度超过 $150^{\circ}C$ 时，过温保护启动，正负输出端切换至弱低电平状态（内部通过高阻接地），防止芯片被热击穿损坏。

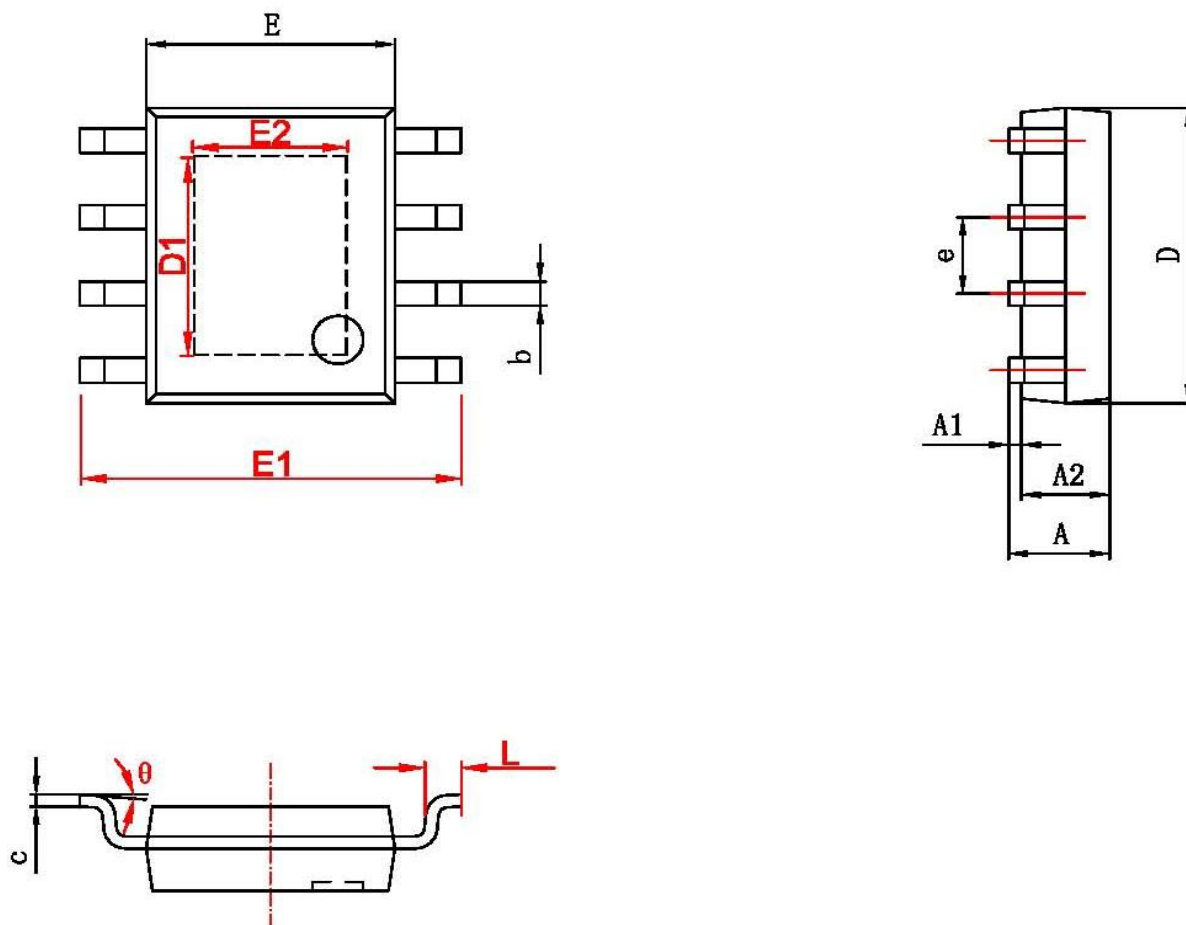
(3) 欠压保护

当检测到电源端 VDD 低于 V_{UVLL} ($2V$)，启动欠压保护，输出端为弱低电平状态（内部通过高阻接地）；当检测到 VDD 高于 V_{UVLH} ($2.2V$)，保护模式自动解除，经启动时间 T_{STUP} 后进入正常工作状态。

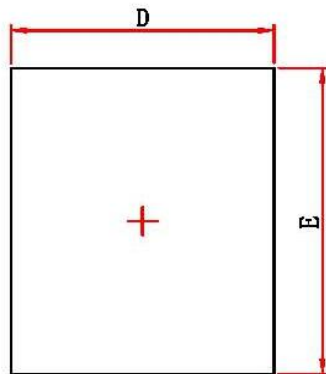
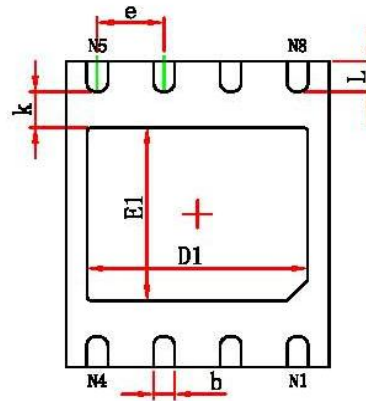
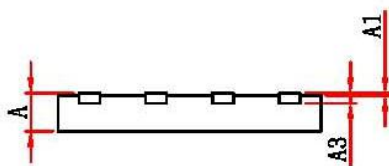
■ 封装外形
● SOP8L
SOP8 PACKAGE OUTLINE DIMENSIONS


| Symbol | Dimensions In Millimeters | | Dimensions In Inches | |
|--------|---------------------------|-------|----------------------|-------|
| | Min | Max | Min | Max |
| A | 1.350 | 1.750 | 0.053 | 0.069 |
| A1 | 0.100 | 0.250 | 0.004 | 0.010 |
| A2 | 1.350 | 1.550 | 0.053 | 0.061 |
| b | 0.330 | 0.510 | 0.013 | 0.020 |
| c | 0.170 | 0.250 | 0.006 | 0.010 |
| D | 4.700 | 5.100 | 0.185 | 0.200 |
| E | 3.800 | 4.000 | 0.150 | 0.157 |
| E1 | 5.800 | 6.200 | 0.228 | 0.244 |
| e | 1.270 (BSC) | | 0.050 (BSC) | |
| L | 0.400 | 1.270 | 0.016 | 0.050 |
| theta | 0° | 8° | 0° | 8° |

● SOP8L-PP

SOP8-PP(EXP PAD) PACKAGE OUTLINE DIMENSIONS


| 字符 | Dimensions In Millimeters | | Dimensions In Inches | |
|----------|---------------------------|-------|----------------------|-------|
| | Min | Max | Min | Max |
| A | 1.350 | 1.750 | 0.053 | 0.069 |
| A1 | 0.050 | 0.150 | 0.002 | 0.006 |
| A2 | 1.350 | 1.550 | 0.053 | 0.061 |
| b | 0.330 | 0.510 | 0.013 | 0.020 |
| c | 0.170 | 0.250 | 0.007 | 0.010 |
| D | 4.700 | 5.100 | 0.185 | 0.200 |
| D1 | 3.202 | 3.402 | 0.126 | 0.134 |
| E | 3.800 | 4.000 | 0.150 | 0.157 |
| E1 | 5.800 | 6.200 | 0.228 | 0.244 |
| E2 | 2.313 | 2.513 | 0.091 | 0.099 |
| e | 1.270 (BSC) | | 0.050 (BSC) | |
| L | 0.400 | 1.270 | 0.016 | 0.050 |
| θ | 0° | | 8° | |

● DFN8L
DFNWB5×6-8L(P1.27T0.75) PACKAGE OUTLINE DIMENSIONS

Top View

Bottom View

Side View

| Symbol | Dimensions In Millimeters | | Dimensions In Inches | |
|--------|---------------------------|-------|----------------------|-------|
| | Min. | Max. | Min. | Max. |
| A | 0.700 | 0.800 | 0.028 | 0.031 |
| A1 | 0.000 | 0.050 | 0.000 | 0.002 |
| A3 | 0.203REF. | | 0.008REF. | |
| D | 4.924 | 5.076 | 0.194 | 0.200 |
| E | 5.924 | 6.076 | 0.233 | 0.239 |
| D1 | 4.100 | 4.300 | 0.161 | 0.169 |
| E1 | 3.300 | 3.500 | 0.130 | 0.138 |
| k | 0.200MIN. | | 0.008MIN. | |
| b | 0.350 | 0.450 | 0.014 | 0.018 |
| e | 1.270TYP. | | 0.050TYP. | |
| L | 0.524 | 0.676 | 0.021 | 0.027 |

IMPORTANT NOTICE**注意**

Jiaying Heroic Electronic Technology Co., Ltd (HT) reserves the right to make corrections, modifications, enhancements, improvements, and other changes to its products and services at any time and to discontinue any products or services without notice. Customers should obtain the latest relevant information before placing orders and should verify that such information is current and complete.

嘉兴禾润电子科技有限公司（以下简称HT）保留对产品、服务、文档的任何修改、更正、提高、改善和其他改变，或停止提供任何产品和服务，并不提供任何通知的权利。客户在下单和生产前应确保所得到的信息是最新、最完整的。

HT assumes no liability for applications assistance or customer product design. Customers are responsible for their products and applications using HT components.

HT对相关应用的说明和协助以及客户产品的板级设计不承担任何责任。

HT products are not authorized for use in safety-critical applications (such as life support devices or systems) where a failure of the HT product would reasonably be expected to affect the safety or effectiveness of that devices or systems.

HT的产品并未授权用于诸如生命维持设备等安全性极高的应用中。

The information included herein is believed to be accurate and reliable. However, HT assumes no responsibility for its use; nor for any infringement of patents or other rights of third parties which may result from its use.

本文中的相关信息是精确和可靠的，但HT并不对其负责，也不对任何可能的专利和第三方权利的侵害负责。

Following are URLs and contacts where you can obtain information or supports on any HT products and application solutions:

下面是可以联系到我公司的相关联系方式：

深圳市佰泰盛世科技有限公司**Shenzhen City BaiTai Shengshi Technology Co.LTD**

地址： 深圳市龙岗区成世纪名园3栋A座704-705室

QQ: 2881664811

电话/Tel: 0755-82717797

传真/Fax: 0755-83045262-806

E-mail: TDS_IC@126.COM

网址/Website: www.baitaishengshi.com